

無加壓燒結한 β -SiC-ZrB₂ 複合體의 破壊忍性과 電氣傳導度에 미치는 氣孔의 영향

신용덕, *권주성
원광대학교 전기공학과

Effect of Porosity on the Fracture Toughness and Electrical Conductivity of Pressureless Sintered β -SiC-ZrB₂ Composites

Yong-Deok Shin, *Ju-Sung Kwon
Dept. of Elec. Eng., WonKwang Univ.

Abstract - The effect of Al₂O₃ additives on the microstructural, mechanical and electrical properties of β -SiC+39vol.%ZrB₂ electroconductive ceramic composites by pressureless sintering were investigated. The β -SiC+39vol.%ZrB₂ ceramic composites were pressureless sintered by adding 4, 8, 12wt.% Al₂O₃ powder as a liquid forming additives at 1950°C for 1h. Phase analysis of composites by XRD revealed mostly of α -SiC(6H), ZrB₂ and weakly α -SiC(4H), β -SiC(15R) phase. The relative density of composites was lowered by gaseous products of the result of reaction between β -SiC and Al₂O₃, therefore, porosity was increased with increased Al₂O₃ contents. The fracture toughness of composites was decreased with increased Al₂O₃ contents, and showed the maximum value of 1.4197MPa·m^{1/2} for composite added with 4wt.% Al₂O₃ additives. The electrical resistivity of β -SiC+39vol.%ZrB₂ electroconductive ceramic composite was increased with increased Al₂O₃ contents, and showed positive temperature coefficient resistance (PTCR) in the temperature from 25°C to 700°C.

1. 서 론

SiC는 IV-IV화합물 반도체로 열도전성, 열충격저항성, 강도와 내산화성이 우수하지만, 강한 공유결합성으로 인해 난 소결성이며, 높은 경도와 취성으로 인해 가공이 어렵고 파괴인성이 낮은 결점이 있다[1][2]. 또한, 순수한 SiC는 100 0°C 이하에서 온도의 증가에 따라 저항이 감소하는 負(-) 저항온도계수를 갖기 때문에 발열체로서 사용시 온도의 증가에 따라 전류를 제어할 수 없어 과열이 발생하게 되므로, 천이금속의 봉화물인 ZrB₂의 3200°C의 높은 고용점과 금속적인 도전성을 이용하여 고온에서의 안정성을 갖는 SiC와 높은 금속성의 도전성을 갖는 ZrB₂를 각각의 특성을 살려 복합체를 제조하면 세라믹히터로서의 용융이 가능하다 [3][4]. 무가압소결법은 소결시 압력을 가지 않기 때문에 제작 공정이 간단하고, 그에 따른 별도의 몰드가 필요치 않게 되어 한편에 다량의 시편을 동시에 제작할 수 있는 장점이 있어 보다 경제적이다. 따라서, 본 연구에서는 61vol.%의 β -SiC에 39vol.%의 ZrB₂를 혼합하고 이 혼합물을 대한 4, 8, 12wt.%의 Al₂O₃를 각각 첨가하여 argon분위기에서 무가압소결법으로 제조한 β -SiC-ZrB₂계 도전성 복합체의 내부에 존재하는 기공이 기계적·전기적 특성에 미치는 영향을 평가할 목적으로 X-ray 상분석, 상대밀도, 격임강도 (Modulus of Rupture), Vicker's 경도, 파괴인성치, SEM 및 Pauw법[5]에 의한 전기저항률에 대하여 조사하였다.

2. 실험 방법

2.1 출발 원료 및 혼합

소결에 사용된 β -SiC와 ZrB₂는 독일 H. C. Starck사의 grade BF12 와 grade B 제품을 각각 사용하였고, 소결첨가제로 쓰인 Al₂O₃는 일본 Showa Chemical Inc., 사

의 제품을 사용하였다. 출발원료는 61vol.%의 β -SiC에 39vol.%의 ZrB₂를 혼합하고, 이 β -SiC+39vol.%ZrB₂ 혼합물에 대한 4, 8, 12wt.%의 Al₂O₃를 각각 첨가하여 제작하였다. 이 분말을 polyurethane jar(diameter=120mm Ø, height=140mm L, volume=1583.4mℓ)에서 alumina ball(Ø=7 mm, L=10mm)을 1 : 5 charge 비로 acetone에서 6시간 동안 습식 볼밀한 후 80°C에서 6시간 동안 열풍건조하였다. 건조 후 용접체를 없애기 위하여 60mesh 망체로 sieving하였고 이것을 uniaxial pressing 20kN, cold isostatic pressing(CIP) 20,000psi로 3분 동안 가압하였다.

2.2 소 결

소결은 무가압소결법으로 행하여졌으며, 앞서 CIP된 시료를 β -SiC powder로 채운 graphite crucible에 넣고 argon 분위기에서 1950°C 까지 12.8°C/min의 속도로 가열한 뒤 1시간 동안 유지 시켰다. 냉각은 승온과 반대의 속도로 냉각하였다. 본 논문에서 61vol.%의 β -SiC에 39vol.%의 ZrB₂를 혼합하고 이 혼합물에 Al₂O₃를 4, 8, 12wt.%씩 첨가한 시편을 각각 SZ-A₄, SZ-A₈, SZ-A₁₂로 명명한다.

2.3 물성측정

β -SiC+39vol.%ZrB₂에 Al₂O₃를 첨가한 세라믹 복합체의 이론밀도는 rule of mixture에 의해서 구해졌고, 상대밀도는 중류수를 이용한 아르키메데스법으로 5회 측정한 값의 평균값을 취하였다.

소결된 시편의 상분석은 XRD[PW 1700 system, Philips, USA.]를 이용하여 분석하였고, fracture toughness[K_{IC}] 값은 Vicker's 미소경도시험기[Model DVK-2, Matsuzawa, Japan]를 이용하여 경도 및 파괴인성 시험법인 indentation method로 각 시편 당 4회 측정하였다. 경도 및 파괴인성치는 B. R. Lawn & E. R. Fuller식[6]으로 계산하였다. fracture strength(M.O.R)는 곡강도시험법(JIS R1601)인 3-point bending test로 시편크기 3×4 × 25[mm]로써 표면은 10[μm]의 diamond paste로 최종 연마후 재료시험기[Instron, Model 4204]를 이용하여 cross head speed 0.5mm/min의 조건으로 시편당 3회 측정하였다. 미세구조 및 crack propagation분석은 Murakami's reagent[7]로 처리되어 진 후 SEM[JSM-840A, Jeol, Japan]으로 분석하였다.

2.4 전기저항률 측정

β -SiC-ZrB₂계 도전성 세라믹의 전기저항률은 Pauw법[5]을 이용하여 측정하였으며, 시편의 가공은 방전현상을 이용한 wire-EDM(Electrical Discharge Machining) 가공법[8]이 이용되어졌다.

3. 결과 및 고찰

3.1 상분석 및 미세구조

상대밀도는 SZ-A₄, SZ-A₈, 그리고 SZ-A₁₂ 세개의 시

편을 각각 세 개씩 취하여 5회 실험한 측정치를 평균하였으며, 4wt.%에서 93.47%로 가장 높고, Al_2O_3 의 첨가량이 증가할수록 $93.47 \rightarrow 93.05 \rightarrow 89.06\%$ 로 감소하여 기공률은 $6.53 \rightarrow 6.98 \rightarrow 10.94\%$ 로 증가하게 된다. 이것은 carbon의 oxygen에 대한 높은 친화력으로 인하여 SiC와 Al_2O_3 간의 반응으로 생성되는 Al_2O , SiO , CO 등의 volatile component가 Al_2O_3 의 첨가량이 많을수록 더 많이 발생하며, 이러한 휘발성 물질이 시편 내부에서 기공을 발생시키거나, 시편 내부 pore channel에서 높은 증기압을 유발시켜 액상소결시의 밀도화 과정에 중요한 역할을 하는 모세관력을 중화시키고, 그로 인한 shrinkage현상의 등화가 기공의 형성으로 나타난 것으로 사료된다.[7] SZ-A₄, SZ-A₈, SZ-A₁₂의 XRD분석 결과, SiC와 ZrB₂는 서로 반응하지 않고 Al_2O_3 의 첨가량이 많아질수록 2θ가 25° , 35° , 43.5° , 52.5° , 57.5° 부근에서 Al_2O_3 의 피크 치이가 높아짐을 알 수 있었다. β -SiC은 상당량이 6H상 poly type의 α -SiC로 변화하여 4H상 poly type과 함께 존재하고 있으며, 또한 15R 상이 2, 3군데 나타나고 있다.

3.2 물성측정

Fig. 1은 각 시편당 4회씩 3점 곡강도시험법으로 실온에서 측정하여 격임강도의 최고, 최저 및 평균값을 나타낸 것으로, SZ-A₄가 224.02MPa로 가장 낮게 나타나고 SZ-A₁₂가 261.30MPa로 가장 높게 나타나고 있다. 이는 hot-pressing으로 제조한 SiC 단일상의 격임강도 315MPa[3]보다 SZ-A₄는 29%, SZ-A₈는 25%, SZ-A₁₂는 17%가 감소한 값이다. 이렇듯 SiC 단일상의 가압소결체 보다 격임강도가 17~29%정도 감소한 이유는 SZ-A₄, SZ-A₈, SZ-A₁₂ 모두 89~93%정도의 낮은 상대밀도와 그로 인해 높아진 기공률 때문이다. 그러나 Al_2O_3 의 첨가량이 증가할수록 기공률이 증가함에도 불구하고, SZ-A₁₂의 격임강도가 SZ-A₄보다 높은 이유는, SZ-A₄는 elongated된 α -SiC의 columnar grain이 거의 없고, Table 1에 나타난 바와 같이, aspect ratio가

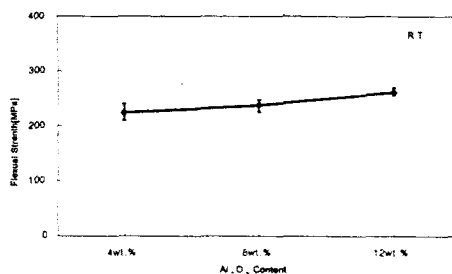


Fig. 1 3-point flexural strength of the β -SiC+39vol.%ZrB₂ with Al_2O_3 contents.

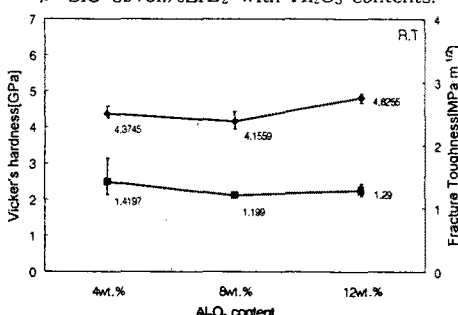
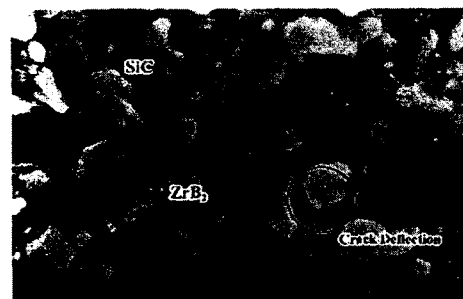


Fig. 2 Vicker's hardness and fracture toughness of the β -SiC+39vol.%ZrB₂ ceramic composite with Al_2O_3 contents.

SZ-A₈이 4.56, SZ-A₁₂가 4.70인데 비해 SZ-A₄는 3.61로 낮게 나타나기 때문이다. SZ-A₈은 과성장의 elongated된 α -SiC도 존재하고, grain이 성장이 관찰되었지만 이를 3차원적 분포가 잘 이루어지지 않았다. SZ-A₁₂는 ZrB₂와 elongated된 α -SiC의 분포가 random하게 3차원적으로 잘 분포되어있기 때문에 격임강도가 가장 높게 나타난 것으로 사료된다.

Fig. 2는 실온에서 Vicker's 압인법으로 측정하여 경도 및 파괴인성치의 최고, 최저 및 평균값을 나타낸 것이다. 경도는 Al_2O_3 의 첨가량이 12wt.%일 때 4.83GPa로 가장 높게 나타나고 있다. 이것은 SZ-A₁₂가 Al_2O_3 의 첨가량이 가장 많아 porosity는 높아지는 반면, 앞서 나타난 것처럼 aspect ratio가 가장 크고, 또한 ZrB₂와 elongated되어진 α -SiC의 분포가 random하게 3차원적으로 잘 분포되어져 있기 때문이다.

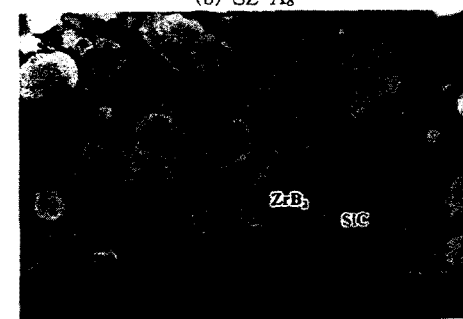
파괴인성치는 Al_2O_3 첨가량이 가장 작은 SZ-A₄가 평균 $1.4197 \text{ MPa} \cdot \text{m}^{1/2}$ 으로 가장 높게 나타나고 있으며, 이것은 SZ-A₄가 elongated된 α -SiC의 columnar grains가 거의 없고 aspect ratio가 SZ-A₈, SZ-A₁₂에 비해 작은 반면 Al_2O_3 , CO 등의 휘발성물질의 생성이 적어 porosity



(a) SZ-A₄



(b) SZ-A₈

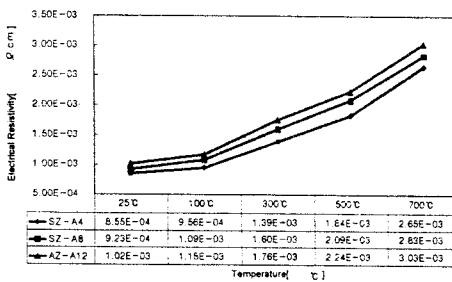


(c) SZ-A₁₂

Fig. 3 Crack propagations of SZ-A4(a), SZ-A₈(b) and SZ-A₁₂(c).

Table 1 Average grain size of α -SiC and ZrB₂.

specimen	α -SiC		ZrB ₂
	aspect ratio	length [μm] × diameter [μm]	
SZ-A ₄	3.61	3.368 × 0.932	3.632
SZ-A ₈	4.56	5.5 × 1.205	3.866
SZ-A ₁₂	4.70	5.29 × 1.125	4.032

Fig. 4 Temperature dependence of electrical resistivity of SZ-A₄, SZ-A₈ and SZ-A₁₂.

가 낮기 때문이며, Fig. 3(a)에 나타난 바와 같이 crack 진전이 입계파경향을 띠기 때문이다. α -SiC의 grain 주위로 crack deflection되는 이유는 α -SiC(Li와 Bradt가 조사한 6H SiC : $4.36 \times 10^{-6}/\text{°C}$ at 20-1000°C)[9]와 ZrB₂($5.9 \times 10^{-6}/\text{°C}$ at 20-1000°C)[10]의 열팽창계수 차이로부터 고유잔류응력이 생기기 때문이다. SZ-A₈과 SZ-A₁₂가 SZ-A₄보다 파괴인성치가 떨어지는 이유는 Al₂O₃의 첨가량이 많아지면서 SiC와 Al₂O₃간의 반응으로 인한 휘발성 부산물의 생성이 증가하고, 그로인해 시편 내부에 발생한 기공이 SiC-matrix와 2차상인 ZrB₂계면 사이의 결합력이 약화되며, crack의 전파를 억제하는 중요한 기구인 균열편향을 통한 crack 전파에너지를 감소가 줄어들어 crack의 진전이 더욱 심하기 때문이다.

3.3 전기저항률

전기저항률은 세 가지 시편을 Pauw법[5]을 이용하여 25°C에서 700°C사이의 온도범위에서 측정하였으며, 그 결과를 Fig. 4에 나타내었다. 전기저항률은 온도의 상승에 따라 저항이 증가하는 정(+)저항온도계수를 보이고 있으며, Al₂O₃의 첨가량이 4, 8, 12wt.%로 증가할수록 25°C에서 $8.55 \times 10^{-4} \rightarrow 2.93 \times 10^{-4} \rightarrow 1.02 \times 10^{-3} \Omega \cdot \text{cm}$ 으로 증가하고, 700°C에서도 $2.65 \times 10^{-3} \rightarrow 2.83 \times 10^{-3} \rightarrow 3.03 \times 10^{-3} \Omega \cdot \text{cm}$ 으로 증가하고 있다. hot-pressing으로 제조한 α -SiC+30vol.%ZrB₂와 α -SiC+45vol.%ZrB₂의 5.37~7.16 $\times 10^{-4}$, $5.37 \times 10^{-4} \Omega \cdot \text{cm}(R.T.)$ [3]에 비하여 약간 높은 전기저항률이 나타난다. 이는 시편 내부에 액상소결을 위한 Al₂O₃의 첨가로 인하여 다행의 기공이 SiC-matrix와 2차상인 ZrB₂와 함께 3차상의 절연체로서 존재하기 때문이다. 또한 이러한 기공의 영향으로 기공률이 상대적으로 높은 SZ-A₈과 SZ-A₁₂가 SZ-A₄에 비해 더 높은 저항률을 보이고 있다.

4. 결 론

β -SiC+39vol.%ZrB₂에 4, 8, 12wt.%의 Al₂O₃를 각각 첨가하여 무가압소결법으로 제조한 복합체의 기계적, 전기적 특성에 미치는 기공의 영향을 조사한 결과 다음과 같은 결론을 얻었다.

- 상대밀도는 Al₂O₃를 4wt.%첨가한 시편에서 93.47%로 가장 높게 나타나며, Al₂O₃를 첨가할수록 낮아지고, porosity는 6.53→6.98→10.94%로 높아졌다.

2) XRD분석에 의하면 SiC와 ZrB₂는 서로 반응하지 않고, SiC는 α 상인 6H polytype으로 대부분 변화하였으며, α 상의 4H와 β 상의 15R상이 두, 세 군데 나타났다. 또한, Al₂O₃의 첨가량이 많아질수록 2θ 가 25°, 35°, 43.5°, 52.5°, 57.5° 부근에서 Al₂O₃의 피크치가 높아졌다.

3) 파괴인성치는 기공률이 가장 작은 4wt.%의 Al₂O₃를 첨가한 시편에서 $1.4197 \text{ MPa} \cdot \text{m}^{1/2}$ 로 가장 높게 나타났으며, Al₂O₃의 첨가량이 증가함에 따라 감소하는 경향을 보인다. 각임강도와 경도는 Al₂O₃를 첨가할수록 증가하며 12wt.%첨가한 시편에서 각각 261.36MPa와 4.83GPa로 가장 높게 나타났다.

5) 전기저항률은 세 가지 시편 모두 정(+)저항온도계수를 보이고 있으며, Al₂O₃의 첨가량이 4, 8, 12wt.%로 증가할수록 25°C에서 $8.55 \times 10^{-4} \rightarrow 2.93 \times 10^{-4} \rightarrow 1.02 \times 10^{-3} \Omega \cdot \text{cm}$ 로, 700°C에서 $2.65 \times 10^{-3} \rightarrow 2.83 \times 10^{-3} \rightarrow 3.03 \times 10^{-3} \Omega \cdot \text{cm}$ 로 증가하였다.

참 고 문 헌

- Kazuo OKANO, "Electrical Conduction in Sintered SiC", *Yogyo-Kyokai-Shi*, 94 [1], pp. 229-235, 1986.
- Yukio Takeda, Kousuke Nakamura, Kunihiro Maeda and Yasuo Matsushita, "Effect of Elemental Additives on Electrical Resistivity of Silicon Carbide Ceramics", *J. Am. Ceram. Soc.*, 70 [10], pp. C-266-C-267, 1987.
- Yong Deok Shin and Yong Kap Park, "Properties of Hot-Prssed SiC-ZrB₂ Electro Conductive Ceramic Composites" *Trans. KIEE*, Vol. 46, NO. 4, pp. 566-572, 1997.
- Ken TAKAHASHI, Ryutarou JIMBOU, Yasuo MATSUSHITA and Tetsuo KOSUGI, "Electrical Resistivity of SiC-ZrB₂ Electro-Conductive Ceramic Composites", *Yogyo-Kyokai-Shi*, 94 [1], pp. 224-228, 1986.
- "Philips Research Reports" *Philips Res. Repts* 13, 1-9, 1958.
- B. R. Lawn and E. R. Fuller "Equilibrium Penny-like cracks in indentation fracture" *J. Mater. Sci.*, 10, pp. 2016-2024, 1975.
- M. A. Mulla and V. D. Krstic "Pressureless Sintering of β -SiC with Al₂O₃ Additions" *J. Mater. Sci.*, 29, pp. 934-935, 1994.
- Eiji KAMIJO, Masaaki HONDA, Matsu HIGUCHI, Hisao TAKEUCHI, "Electrical Discharge Machinable Si₃N₄ Ceramics", *Sumitomo Electric Technical Review*, [24], Jan., pp. 183-190, 1985.
- Patricia A. Hoffman "Thermo Elastic Properties of Silicon Carbide-Titanium Diboride Particulate Composites" *M. S Thesis*, 1992.
- Yukinori Kutsukake "The Development of ZrB₂-Based Cermert" *Ceramic Data Book*, pp. 687-703, 1987.